

И. И. Вигдорович

Центральный институт авиационного моторостроения им. П. И. Баранова

## ЗАКОНЫ ПОДОБИЯ ДЛЯ ТЕПЛОВОГО ТУРБУЛЕНТНОГО ПОГРАНИЧНОГО СЛОЯ НА ПЛАСТИНЕ СО ВДУВОМ

### Аннотация

Для теплового турбулентного пограничного слоя на проницаемой пластине установлены законы подобия для температуры потока и теплопередачи на стенке. Согласно универсальному закону дефекта температуры профиля этой величины при любом вдуве и достаточно больших числах Рейнольдса всюду вне вязкого подслоя могут быть описаны одной кривой, известной из экспериментальных данных для непроницаемой пластины. Классический предельный закон теплообмена [1] связывает числа Стантона, Рейнольдса и параметр вдува. Полученный закон теплопередачи в форме обобщенной аналогии Рейнольдса позволяет представить распределения теплового потока, соответствующие разным числам Рейнольдса и скоростям вдува, с помощью функции одной переменной. Результаты получены без использования специальных гипотез замыкания.

### 1. ПОСТАНОВКА ЗАДАЧИ

Рассмотрим течение несжимаемой теплопроводной жидкости в турбулентном пограничном слое на плоской гладкой пластине, обтекаемой равномерным потоком с постоянными по длине пластины скоростью  $U_e$  и температурой  $\theta_e$ . На обтекаемой поверхности зададим направленную по нормали скорость вдува или отсоса  $v_w$  и температуру  $\theta_w$ , которые также будем считать постоянными. Предположим, что турбулентное течение развивается непосредственно от передней кромки пластины. Уровень пульсаций скорости и температуры в набегающем потоке будем считать пренебрежимо малым и не оказывающим влияния на течение и теплопередачу в пограничном слое. Температура рассматривается как пассивная примесь, не влияющая на движение жидкости.

Все усредненные величины, в том числе градиенты продольной скорости и температуры, турбулентное касательное напряжение и турбулентный поток температуры, являются функциями декартовых координат  $x$ ,  $y$  и определяющих параметров задачи

$$\frac{\partial u}{\partial y} = F_1(x, y, \nu, v_w, U_e), \quad (1)$$

$$\frac{\partial \theta}{\partial y} = F_2(x, y, \nu, \chi, v_w, U_e, \theta_w - \theta_e), \quad (2)$$

$$\langle u'v' \rangle = F_3(x, y, \nu, v_w, U_e), \quad (3)$$

$$\langle \theta'v' \rangle = F_4(x, y, \nu, \chi, v_w, U_e, \theta_w - \theta_e). \quad (4)$$

Здесь  $\nu$  и  $\chi$  — коэффициенты молекулярной вязкости и температуропроводности; начало декартовой системы координат — на передней кромке пластины. Поскольку перенос пассивной примеси нестационарным полем скорости описывается линейным уравнением, определяющим параметром в соотношениях (2), (4) является только температурный перепад между пластиной и набегающим потоком.

Введем в рассмотрение толщину пограничного слоя

$$\Delta = F_5(x, \nu, v_w, U_e) \quad (5)$$

как некоторую величину, характеризующую попечный масштаб течения.

Выразив теперь  $x$ ,  $U_e$  и  $\theta_w - \theta_e$  из уравнений (1), (2) и (5) и подставив в равенства (3) и (4), получим

$$\langle u'v' \rangle = G_1 \left( y, \nu, v_w, \Delta, \frac{\partial u}{\partial y} \right),$$

$$\langle \theta'v' \rangle = G_2 \left( y, \nu, \chi, v_w, \Delta, \frac{\partial u}{\partial y}, \frac{\partial \theta}{\partial y} \right).$$

Применяя к этим функциональным соотношениям П-теорему и учитывая, что для температуры как пассивной примеси можно использовать специальную размерность, будем иметь

$$\langle u'v' \rangle = - \left( y \frac{\partial u}{\partial y} \right)^2 S(\text{Re}, \beta, \eta), \quad (6)$$

$$\langle \theta'v' \rangle = -y^2 \frac{\partial \theta}{\partial y} \frac{\partial u}{\partial y} T(\text{Re}, \text{Pe}, \beta, \eta), \quad (7)$$

$$\text{Re} = \frac{y^2}{\nu} \frac{\partial u}{\partial y}, \quad \text{Pe} = \frac{y^2}{\chi} \frac{\partial u}{\partial y},$$

$$\beta = \frac{v_w}{y \text{Re}} \left( \frac{\partial u}{\partial y} \right)^{-1}, \quad \eta = \frac{y}{\Delta}.$$

Локальное число Рейнольдса  $\text{Re}$  равно отношению характерных значений турбулентной и молекулярной вязкости, а локальное число Пекле  $\text{Pe}$  — турбулентной и молекулярной теплопроводности. Относительно функций  $S$  и  $T$  предположим, что они непрерывны при  $0 \leq \text{Re} \leq \infty$ ,  $0 \leq \text{Pe} \leq \infty$ ,  $-\infty \leq \beta \leq \infty$ ,  $0 \leq \eta < \infty$ , дифференцируемы внутри этой области и удовлетворяют условиям  $S(\infty, 0, 0) \neq 0$ ,  $T(\infty, \infty, 0, 0) \neq 0$ . Как показано [2], два последних неравенства есть условия существования логарифмических профилей скорости и температуры в пограничном слое на непроницаемой пластине.

Функция тока усредненного течения  $\psi(x, y)$  и температура удовлетворяют уравнениям пограничного слоя с нулевым градиентом давления при соответствующих граничных условиях на пластине. Перейдем в этих уравнениях к новым переменным по формулам [3]

$$\begin{aligned}\psi &= U_e \Delta \Psi(\xi, \eta), \quad \theta = \theta_c + (\theta_w - \theta_e) \Phi(\xi, \eta), \\ \Lambda(\xi) &= \frac{d \text{Re}_\Delta}{d \text{Re}_x}, \quad \xi = \ln \text{Re}_\Delta, \\ \text{Re}_x &= \frac{U_e x}{\nu}, \quad \text{Re}_\Delta = \frac{U_e \Delta}{\nu}.\end{aligned}$$

Для функций  $\Psi(\xi, \eta)$ ,  $\Phi(\xi, \eta)$  и  $\Lambda(\xi)$  с учетом соотношений (6), (7) получим

$$\begin{aligned}\Lambda[\Psi_\eta \Psi_{\xi\eta} - (\Psi + \Psi_\xi) \Psi_{\eta\eta}] &= \\ = [(\eta \Psi_{\eta\eta})^2 S(\text{Re}, \beta, \eta) + e^{-\xi} \Psi_{\eta\eta}]_\eta, & (8) \\ \Lambda[\Psi_\eta \Phi_\xi - (\Psi + \Psi_\xi) \Phi_\eta] &= \\ = [\eta^2 \Phi_\eta \Psi_{\eta\eta} T(\text{Re}, \text{Pe}, \beta, \eta) + \text{Pr}^{-1} e^{-\xi} \Phi_\eta]_\eta, & (9) \\ \text{Re} &= e^\xi \eta^2 \Psi_{\eta\eta}, \quad \text{Pe} = \text{Pr} \text{Re}, \quad \beta = B (\eta \text{Re} \Psi_{\eta\eta})^{-1}, \\ \eta = 0 : \Psi_\eta &= 0, \quad \Lambda(\Psi + \Psi_\xi) = -B, \quad \Phi = 1; \quad (10) \\ \eta \rightarrow \infty : \Psi_\eta &\rightarrow 1, \quad \Phi \rightarrow 0, \quad (\eta \Psi_{\eta\eta})^2 S(R_l, \beta, \eta) \rightarrow 0, \\ \eta^2 \Phi_\eta \Psi_{\eta\eta} T(\text{Re}, \text{Pe}, \beta, \eta) &\rightarrow 0. \quad (11)\end{aligned}$$

Здесь  $\text{Pr} = \nu/\chi$  — молекулярное число Прандтля,  $B = v_w/U_e$  — параметр вдува или отсоса. Соотношения (10) задают условия на пластине, (11) — на внешней границе пограничного слоя. С учетом порядка дифференциальных уравнений на внешней границе поставлены условия для скорости и касательного напряжения, температуры и потока температуры.

Будем искать асимптотическое представление решения задачи (8)–(11) при  $\xi \rightarrow \infty$ , для чего введем малый параметр  $\varepsilon$  и новую независимую переменную  $\zeta = \varepsilon \xi, 1/\zeta = O(1)$ .

Скорость вдува или отсоса на стенке зададим в виде  $B = \varepsilon^2 b, b = O(1)$ .

Поле скорости из уравнения (8) и граничных условий (10), (11) может быть найдено независимо от поля температуры, и эта задача решена в [3–6]. Далее получим решение тепловой задачи.

Будем рассматривать две характерные области в пограничном слое: внешнюю область, где молекулярной вязкостью и теплопроводностью в уравнениях можно пренебречь, а характерный масштаб — толщина пограничного слоя, и пристеночную область, характерный масштаб которой определяется из условия равенства по порядку величин турбулентных и вязких напряжений.

## 2. ПРИСТЕНОЧНАЯ ОБЛАСТЬ

Как показано [2, 5], в пристеночной области пограничного слоя вне вязкого подслоя профили скорости и температуры удовлетворяют следующим соотношениям подобия:

$$\begin{aligned}\frac{2}{v_+} \left( \sqrt{1 + v_+ u_+} - 1 \right) &= \frac{1}{\kappa} [\ln y_+ + C(v_+)] + O(y_+^{-\alpha}), \\ \frac{2}{v_+} \left[ (1 + v_+ \theta_+)^{1/(2\text{Pr}_t^0)} - 1 \right] &+ \\ + \frac{1}{\kappa} D(v_+, \text{Pr}) (1 + v_+ \theta_+)^{1/(2\text{Pr}_t^0)} &= \\ = \frac{1}{\kappa} [\ln y_+ + C(v_+)] + O(y_+^{-\alpha}), & y_+ \rightarrow \infty, \quad \alpha > 0.\end{aligned} \quad (13)$$

Асимптотические представления (12), (13) записаны в переменных стенки

$$\begin{aligned}y_+ &= \eta \sqrt{c_f/2 \text{Re}_\Delta}, \quad u_+ = \frac{\Psi_\eta}{\sqrt{c_f/2}}, \\ v_+ &= \frac{B}{\sqrt{c_f/2}}, \quad \theta_+ = \frac{\sqrt{c_f/2}}{\text{St}} (1 - \Phi),\end{aligned} \quad (14)$$

где  $c_f$  — коэффициент трения на пластине,  $\text{St}$  — число Стантона, связанное с потоком температуры равенством  $j_w = U_e \text{St}(\theta_w - \theta_e)$ . В (12), (13) входят также постоянная Кармана  $\kappa = \sqrt{S(\infty, 0, 0)}$ , турбулентное число Прандтля в логарифмической области  $\text{Pr}_t^0 = S(\infty, 0, 0)/T(\infty, \infty, 0, 0)$  и две универсальные функции  $C(v_+)$  и  $D(v_+, \text{Pr})$ , которые должны определяться из экспериментальных данных, причем [5]

$$C(0) = C_0, \quad D(0, \text{Pr}) = C_0 - \gamma(\text{Pr}), \quad (15)$$

где  $C_0$  и  $\gamma(\text{Pr})$  — аддитивные постоянные, входящие в логарифмические законы для профилей скорости и температуры в пограничном слое на непроницаемой пластине. В соответствии с экспериментальными данными примем следующие значения постоянных:  $\kappa = 0.41$ ,  $\text{Pr}_t^0 = 0.89$ ,  $C_0 = 2.05$  и для воздуха  $\gamma(0.7) = 1.6$  [5].

Вычитая (12) из (13), получим соотношение, связывающее профили скорости и температуры в пристеночной области вне вязкого подслоя

$$\begin{aligned}\left[ 1 + \frac{v_+}{2\kappa} D(v_+, \text{Pr}) \right] (1 + v_+ \theta_+)^{1/(2\text{Pr}_t^0)} &= \\ = \sqrt{1 + v_+ u_+} + O(y_+^{-\alpha}), & y_+ \rightarrow \infty.\end{aligned} \quad (16)$$

## 3. ВНЕШНЯЯ ОБЛАСТЬ

Как показано [4, 6], при умеренном отсосе (когда касательное напряжение во внешней области и на стенке имеет один порядок величины) и произвольном вдуве решение динамической задачи при

$1/\eta = O(1)$ , т. е. во внешней области пограничного слоя, можно представить в виде

$$\begin{aligned}\Psi(\xi, \eta) &= \Psi_w(\xi) + \eta + \Lambda(\xi)f(\eta) + O(\varepsilon^2), \\ \Psi_w(\xi) + \frac{d\Psi_w(\xi)}{d\xi} &= O(\varepsilon), \\ \Lambda(\xi) &= \frac{\sqrt{c_f/2 + \varepsilon^2 b}}{F_1} + O(\varepsilon^2), \quad c_f = \varepsilon^2 \sigma(\zeta, \varepsilon), \\ \sigma(\zeta, \varepsilon) &= O(1), \quad F_1 \equiv \sqrt{-f(\infty)}.\end{aligned}\quad (17)$$

Здесь функция  $f'(\eta)$  удовлетворяет краевой задаче для обыкновенного дифференциального уравнения и имеет логарифмическую асимптотику на стенке [6]

$$f'(\eta) = \frac{F_1}{\kappa} (\ln \eta + A_0 - \ln F_1) + O(\eta^\alpha), \quad \eta \rightarrow 0, \quad (18)$$

где  $A_0$  — некоторая постоянная. Функция  $f'(\eta)$  имеет универсальный характер, ее можно считать известной из экспериментальных данных для пограничного слоя на непроницаемой пластине и задать, например, с помощью эмпирической формулы Коулса [8]

$$\frac{f'(\eta)}{F_1} = \frac{1}{\kappa} [\ln \eta - 0.55(1 + \cos \pi \eta)], \quad F_1 = \frac{1.55}{\kappa}. \quad (19)$$

В этом случае величина  $\Delta$  выбрана как расстояние до стенки, на котором продольная составляющая усредненной скорости на 0.5% отличается от  $U_e$ . Сопоставление (18) и (19) дает  $A_0 = 0.23$ .

Толщина пограничного слоя следующим образом связана с трением на пластине [4]:

$$\begin{aligned}R_\Delta &= \frac{1}{F_1 \sqrt{c_f/2}} \exp \left[ \frac{2\kappa}{q} - \frac{2\kappa}{v_+} + A_0 - \right. \\ &\quad \left. - C(v_+) + O(\varepsilon) \right], \quad q = \frac{B}{\sqrt{c_f/2 + B}}.\end{aligned}\quad (20)$$

Профиль температуры во внешней области будем искать в виде

$$\Phi(\xi, \eta) = M(\xi)p_0(\eta) + O(\varepsilon^2), \quad M(\xi) = \varepsilon m(\zeta, \varepsilon),$$

$$m(\zeta, \varepsilon) = O(1). \quad (21)$$

Подстановка разложений (17), (21) в уравнение (9) и предельный переход  $\varepsilon \rightarrow 0$ ,  $1/\zeta = O(1)$ ,  $1/\eta = O(1)$  дают для функции  $p_0(\eta)$  краевую задачу для обыкновенного дифференциального уравнения

$$[\eta^2 p'_0 f'' T(\infty, \infty, 0, \eta)]' + \eta p'_0 = 0; \quad p_0(\infty) = 0,$$

$$\lim_{\eta \rightarrow \infty} \eta^2 p'_0 f'' T(\infty, \infty, 0, \eta) = 0, \quad (22)$$

для выделения однозначного решения которой поставим дополнительное условие

$$\int_0^\infty p_0 d\eta = F_1. \quad (23)$$

Из (22), (23) получим для функции  $p_0(\eta)$  логарифмическую асимптотику на стенке

$$p_0(\eta) = -\frac{\Pr_t^0}{\kappa} (\ln \eta + E_0 - \ln F_1) + O(\eta^\alpha), \quad \eta \rightarrow 0, \quad (24)$$

где  $E_0$  — некоторая постоянная.

#### 4. СРАЩИВАНИЕ РЕШЕНИЙ

Проведем теперь асимптотическое сращивание решений для двух областей — внешней и пристеночной [9]. Переходим в соотношении (16) от переменных стенки к внешним переменным по формулам (14), учитывая при этом (17), (21); вместо функций  $f'(\eta)$  и  $p_0(\eta)$  подставим их асимптотические представления (18), (24). Предполагая, что  $St = O(\varepsilon^2)$ , будем иметь

$$\begin{aligned}& \left[ 1 + \frac{v_+}{2\kappa} D(v_+, \Pr) \right] \left[ 1 + \frac{B}{St} + \right. \\ & \quad \left. + \frac{B M \Pr_t^0}{\kappa St} (\ln \eta + E_0 - \ln F_1) \right]^{1/(2\Pr_t^0)} = \left[ 1 + \frac{2B}{c_f} + \right. \\ & \quad \left. + \frac{2B}{\kappa c_f} \sqrt{c_f/2 + B} (\ln \eta + A_0 - \ln F_1) \right]^{1/2} + O(\varepsilon^2).\end{aligned}$$

Отсюда получим два соотношения

$$M = \frac{St + B}{\sqrt{c_f/2 + B}} + O(\varepsilon^2), \quad (25)$$

$$\begin{aligned}& \left[ 1 + \frac{v_+}{2\kappa} D(v_+, \Pr) \right] \left( \frac{St + B}{St} \right)^{1/(2\Pr_t^0)} = \\ & = \sqrt{\frac{c_f/2 + B}{c_f/2}} + \frac{(A_0 - E_0)v_+}{2\kappa} + O(\varepsilon^2).\end{aligned}\quad (26)$$

Из (21), (25) следует, что при умеренном отске и произвольном вдвое температура во внешней области пограничного слоя должна иметь универсальное распределение

$$\frac{(\theta - \theta_e)\sqrt{c_f/2 + B}}{(\theta_w - \theta_e)(St + B)} = p_0(\eta) + O(\sqrt{c_f + B}). \quad (27)$$

В частном случае  $B = 0$  соотношение (27) дает известный закон дефекта температуры для пограничного слоя на непроницаемой пластине (см., например, [10]).

Проинтегрировав соотношение (27) поперек пограничного слоя и учтя равенство (23), получим представление поперечного масштаба  $\Delta$  через интеграл от профиля избыточной температуры

$$F_1 \Delta = \frac{\delta_t \sqrt{c_f/2 + B}}{(St + B)} + O(\sqrt{c_f + B}),$$

$$\delta_t = \int_0^\infty \frac{\theta - \theta_e}{\theta_w - \theta_e} dy. \quad (28)$$

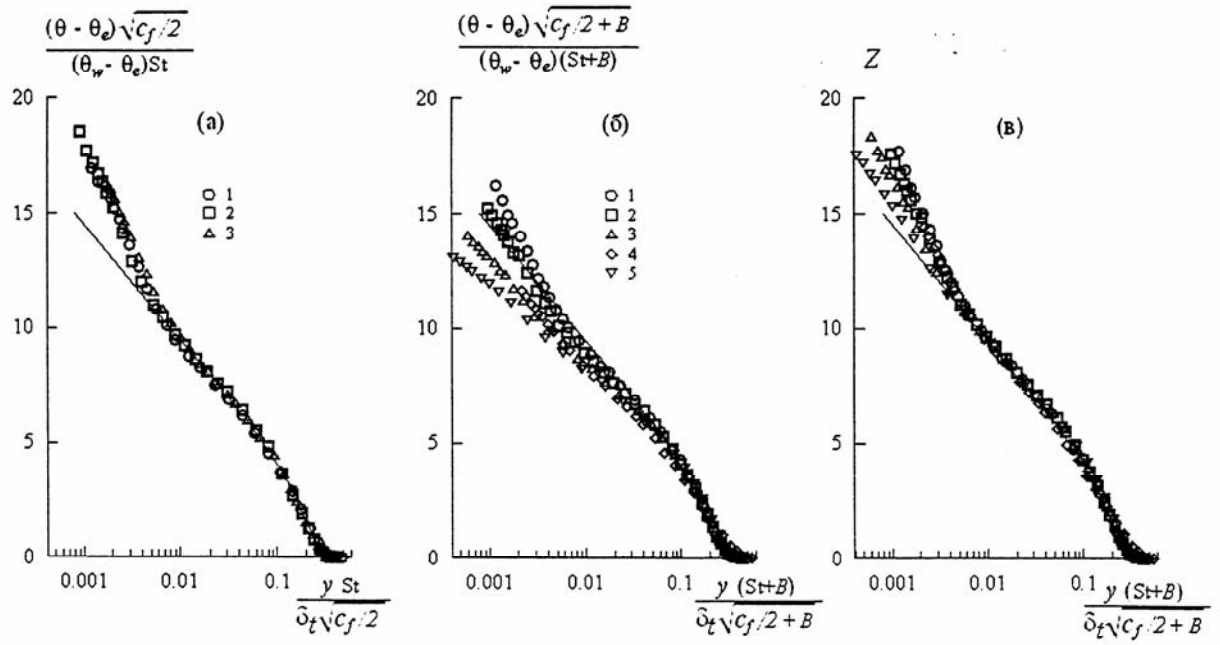


Рис. 2: Экспериментальные профили температуры [11] в пограничном слое на непроницаемой пластине (а) и пластине со вдувом (б, в) в переменных подобия; (а): 1–3 –  $R_x = 1.30 \cdot 10^6, 1.44 \cdot 10^6, 1.99 \cdot 10^6$ ; (б): 1–5 –  $B = 9.6 \cdot 10^{-4}, R_x = 1.47 \cdot 10^6, 1.8 \cdot 10^{-3}, 1.96 \cdot 10^6, 3.5 \cdot 10^{-3}, 1.98 \cdot 10^6; 4.0 \cdot 10^{-3}, 1.46 \cdot 10^6, 4.4 \cdot 10^{-3}, 1.98 \cdot 10^6$ . Сплошные кривые – формула (29),  $Z$  – левая часть (32).

Для проверки закона подобия (27) использованы экспериментальные данные [11]. В работе [11] в пограничном слое на пластине со вдувом измерялись профили скорости и температуры и тепловой поток, но не измерялось трение на стенке. Мы вычисляли коэффициент трения по параметру вдува и числу Рейнольдса, образованному по толщине вытеснения, с помощью универсального закона трения [4].

На рис. 1а и б в переменных подобия (27) построены распределения температуры, полученные при разных скоростях вдува и числах Рейнольдса. На рис. 1а вынесены профили, отвечающие частному случаю непроницаемой пластины; они имеют выраженный логарифмический участок, который описывается уравнением (24) при  $E_0 = 0.23$ .

Для аппроксимации функции  $p_0(\eta)$  возьмем формулу, аналогичную формуле (19)

$$p_0(\eta) = -\frac{\Pr_t^0}{\kappa} [\ln a\eta - \Pi(1 + \cos \pi a\eta)], \quad 0 < \eta \leq 1/a. \quad (29)$$

Используя условие (23) и асимптотическое представление (24), получим два уравнения

$$\Pr_t^0(1 + \Pi) = \kappa F_1 a, \quad \ln F_1 a - 2\Pi = E_0,$$

из которых при выбранных значениях постоянных найдем  $a = 0.84$ ,  $\Pi = 0.46$ . Сплошная линия на рис. 1а, построенная по формуле (29), хорошо описывает экспериментальные данные. Формула (29) в отличие от соотношения, приведенного в [12], учитывает, что динамический и тепловой пограничные слои имеют разную толщину.

Как видно из рис. 1б, в соответствии с правилом подобия (27) все профили температуры во внешней области следуют одной кривой, однако вблизи стенки тем больше отклоняются от логарифмического распределения, чем больше параметр вдува.

Соотношение (26), связывающее три параметра: число Стантона, коэффициент трения и безразмерную скорость вдува или отсоса, представляет собой универсальный закон теплопередачи в форме обобщенной аналогии Рейнольдса. В (26) входит одна эмпирическая функция двух переменных  $D(v_+, \Pr)$ . Принимая во внимание второе равенство (15), перепишем (26) в виде

$$D(v_+, \Pr) - D(0, \Pr) = \left( \frac{St}{St + B} \right)^{1/(2\Pr_t^0)} \times \\ \times \left( \frac{2\kappa}{q} + A_0 - E_0 \right) - \frac{2\kappa}{v_+} + \gamma(\Pr) - C_0 + O(\sqrt{c_f + B}). \quad (30)$$

Переходя в (30) к пределу при  $B \rightarrow 0$ , в частном случае непроницаемой пластины получим зависимость числа Стантона от коэффициента трения

$$St = \frac{c_f}{2\Pr_t^0} \left[ 1 - \frac{\sqrt{c_f/2}}{\kappa} (A_0 - E_0 + \gamma(\Pr) - C_0) \right],$$

которая совпадает с формулой, приведенной в [12], и имеет близкие численные значения коэффициентов.

На рис. 2 данные [11] построены в форме универсального закона теплопередачи (30). С некоторым разбросом экспериментальные точки действительно описывают одну кривую. Погрешности в

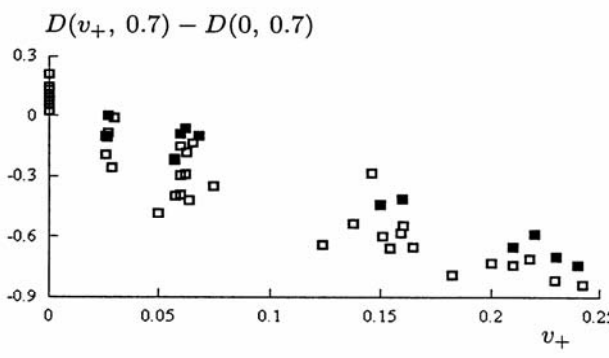


Рис. 1: Функция  $D(v_+, 0.7)$  по данным [11]: светлые квадраты — универсальный закон теплопередачи; темные квадраты — результаты обработки профилей температуры.

первую очередь связаны с тем, что значения параметров  $q$  и  $v_+$ , входящих в правую часть соотношения (30), малы, и следовательно функция  $D(v_+, \text{Pr})$ , имеющая порядок единицы, вычисляется как разность двух больших величин. На рис. 2 приведены также взятые из [5] значения функции  $D(v_+, \text{Pr})$ , найденные путем обработки экспериментальных профилей температуры на основе закона подобия (13). Видно, что два разных способа определения функции  $D(v_+, \text{Pr})$  дают близкие результаты.

### 5. ЗАКОН ДЕФЕКТА ТЕМПЕРАТУРЫ

Правила подобия для профилей температуры (13) и (27) справедливы в двух примыкающих друг к другу областях пограничного слоя. Объединим эти асимптотические представления в составное разложение для температуры [9], которое будет выполняться всюду вне вязкого подслоя. Для этого перепишем (13) во внешних переменных, учитывая выражения для толщины пограничного слоя (20) и функции  $D(v_+, \text{Pr})$  (26)

$$\left( \frac{2}{q} + \frac{A_0 - E_0}{\kappa} \right) (1 - qF)^{1/(2\text{Pr}_t^0)} - \frac{2}{q} = \\ = \frac{1}{\kappa} (\ln \eta + A_0 - \ln F_1) + O(\varepsilon).$$

Здесь  $F$  — левая часть соотношения (27). Отсюда, используя малость параметра  $q = O(\varepsilon)$ , получим

$$\frac{2}{q} \left[ (1 - qF)^{1/(2\text{Pr}_t^0)} - 1 \right] = \\ = \frac{1}{\kappa} (\ln \eta + E_0 - \ln F_1) + O(\varepsilon). \quad (31)$$

Искомое составное разложение имеет вид

$$\frac{2\text{Pr}_t^0}{q} \left[ 1 - (1 - qF)^{1/(2\text{Pr}_t^0)} \right] \equiv \\ \equiv \frac{2\text{Pr}_t^0 \sqrt{c_f/2 + B}}{B} [1 - (1 -$$

$$-\frac{B(\theta - \theta_e)}{(St + B)(\theta_w - \theta_e)} \Big)^{1/(2\text{Pr}_t^0)}] = p_0(\eta) + O(\sqrt{c_f + B}). \quad (32)$$

При малых  $\eta$  в силу асимптотики (24) это соотношение совпадает с (31). При  $1/\eta = O(1)$  на основании (27) имеем  $F = O(1)$  и, разлагая левую часть (32) по малому параметру  $q$ , получим соотношение (27).

Правило подобия (32) представляет собой универсальный закон дефекта температуры, по построению справедливый всюду вне вязкого подслоя.

На рис. 1в те же данные, что на рис. 1б, построены в форме закона дефекта температуры (32). Теперь экспериментальные точки следуют универсальной кривой по всей толщине пограничного слоя за исключением вязкого подслоя вблизи стенки.

Работа выполнена при финансовой поддержке РФФИ (проект № 05-08-33384).

### СПИСОК ЛИТЕРАТУРЫ

1. Кутателадзе С. С., Леонтьев А. И. Теплообмен и трение в турбулентном пограничном слое. Изд. 2-е. М.: Энергоатомиздат, 1985. 319 с.
2. Вигдорович И. И.// ДАН. 2003. Т. 392. № 3. С. 340–345.
3. Вигдорович И. И.// Изв. РАН. МЖГ. 1993. № 4. С. 106–117.
4. Вигдорович И. И.// ДАН. 1994. Т. 337. № 1. С. 39–43.
5. Вигдорович И. И.// ЖЭТФ. 2004. Т. 126. Вып. 5(11) С. 1180–1191.
6. Вигдорович И. И.// ПММ. 2005. Т. 69. Вып. 5. С. 788–803.
7. Вигдорович И. И.// ЖЭТФ. 2005. Т. 128. Вып. 4(10). С. 859–878.
8. Coles D.// J. Fluid Mech. 1956. V. 1. Pt. 2. P. 191–226.
9. Ван-Дайк М. Методы возмущений в механике жидкости. М.: Мир, 1967. 310 с.
10. Кадер Б. А., Яглом А. М.// Итоги науки и техники. Сер. Механика жидкости и газа. М.: ВИНТИ, 1980. Т. 15. С. 81–155.
11. Whitten D. G., Kays W. M., Moffat R. J. The turbulent boundary layer on a porous plate: Experimental heat transfer with variable suction, blowing and surface temperature. Rep. HMT-3. Stanford Univ. 1967. 162 p.
12. Себиси Т., Брэдшоу П. Конвективный теплообмен. М.: Мир, 1987. 590 с.